BLOQUE IV: CERAMICAS DE ALTAS PRESTACIONES

· Cerámicas Funcionales

Superconductores

Bibliografía:

- Solid State Chemistry and its applications: Anthony R. West (ed Wiley, (1990)
- "Solid State Chemistry: An introduction", L. Smart and E. Moore. 1992 (Cap. 8)
- "Superconductividad", M.A. Alario, J.L. Vicent. Ed. Eudema Universidad, 1991

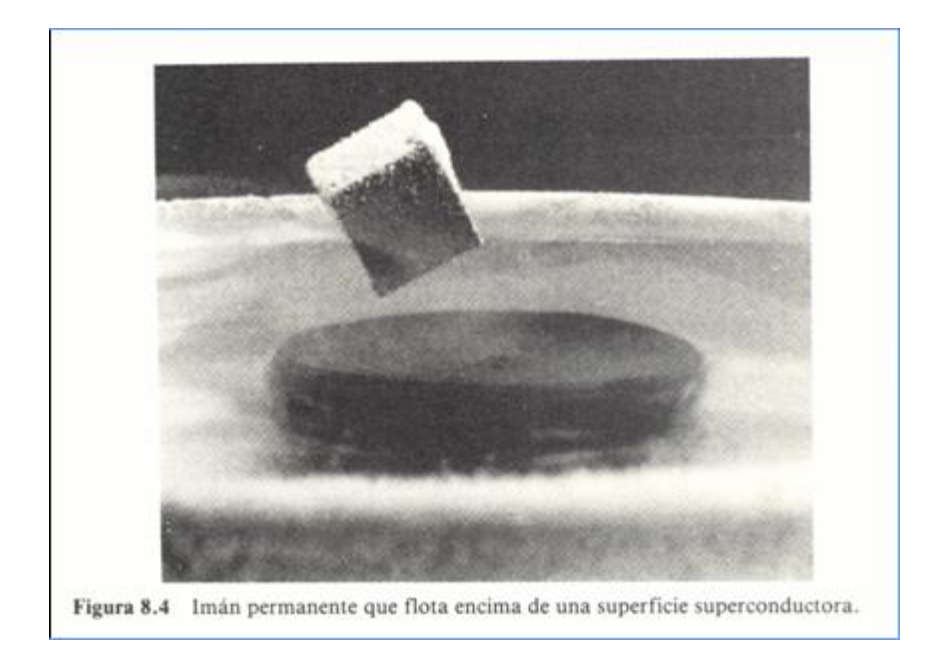
Fechas claves de la superconductividad

 1911.- descubrimiento del <u>efecto de</u> <u>la superconductividad</u>

> 4.2K Hg → Hg (resistencia nula, sin pérdidad de energía)

- 1957.- John Bardeen, Leon Cooper y Robert Schrieffer (P. Nobel) ⇒ Teoría "estructura microscópica" de la superconductividad
- 1986.- Bednorz&Müller (P. Nobel): descubrimiento de los superconductores (óxidos metal.) de alta temperatura

Ba-La-Cu-O ($T_C \cong 30K$)



Características de un Superconductor

• Desaparición de resistencia eléctrica a $T < T_c$

 $-(T_c: temperatura crítica)$

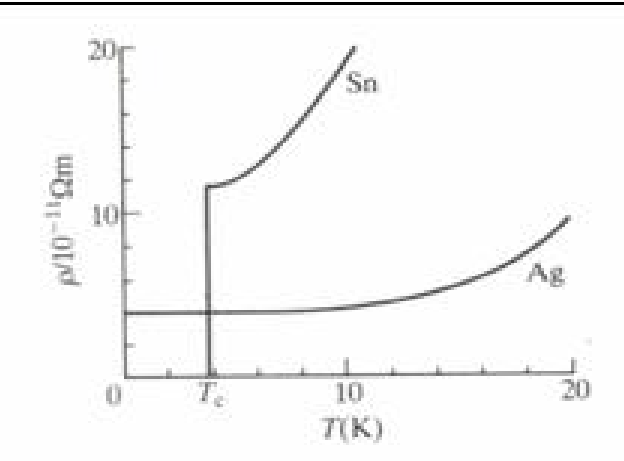


Figura 8.1 Gráfica de la resistividad, ρ , en función de la temperatura, T, que muestra la caída a cero a la temperatura crítica, T_c , para un superconductor, y la resistividad finita de un metal normal en el cero absoluto.

• Diamágnetico perfecto, χ =-1 (expulsa todo el flujo magnético de su interior)

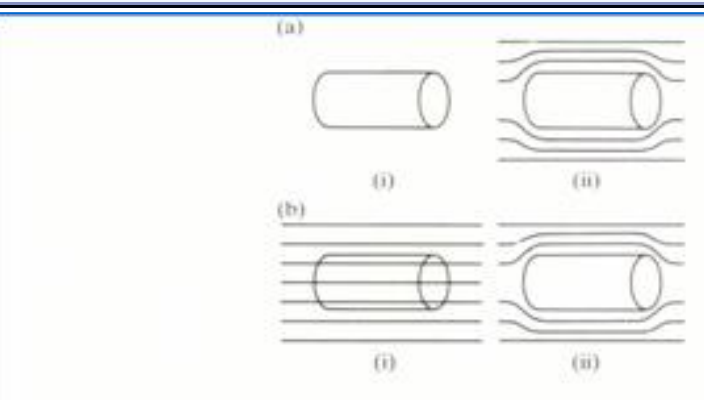
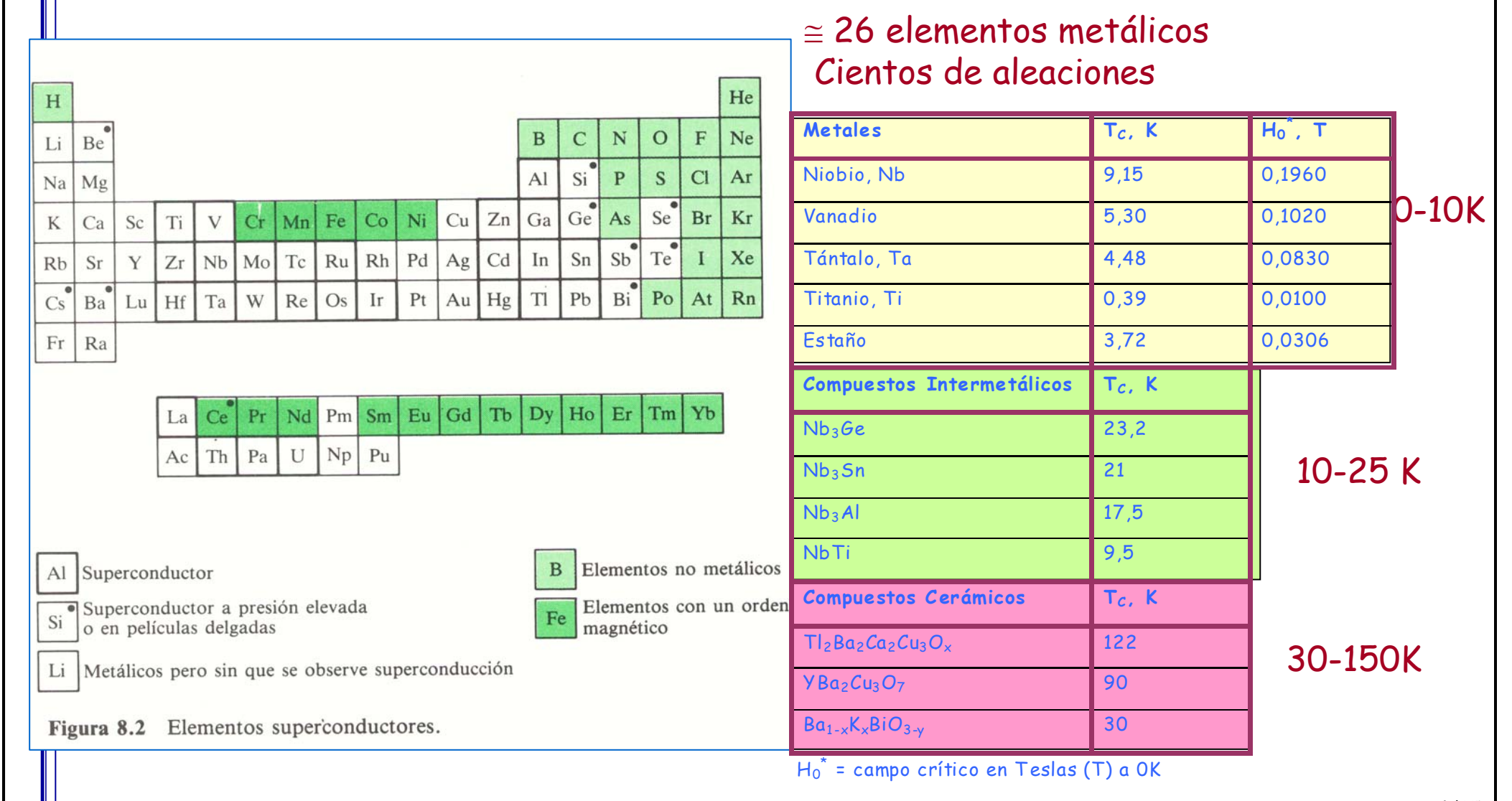


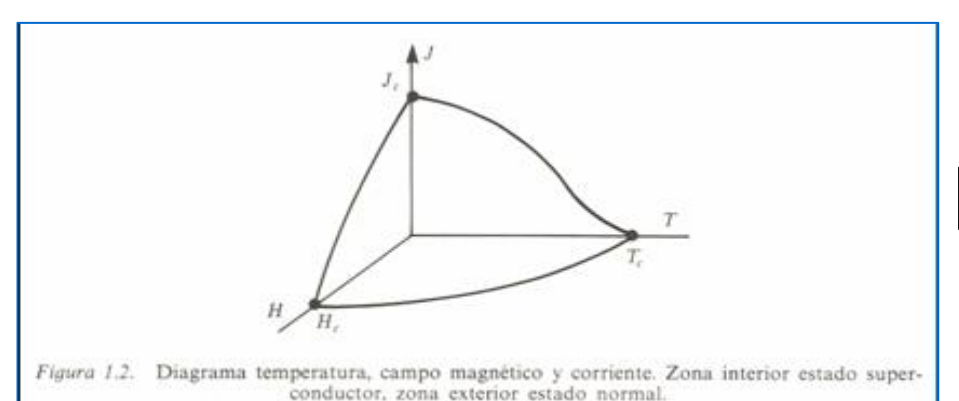
Figura 8.3 (a) (i) Superconductor sin campo magnético. Cuando un campo se aplica en (ii) el flujo magnético se repele. (b) (i) Sustancia superconductora por encima de la temperatura crítica, T_c, en un campo magnético. Cuando la temperatura cae por debajo de la crítica (ii), el flujo magnético es repelido del interior. Ambos se denominan efectos Meissner.

Tipos de Materiales superconductores

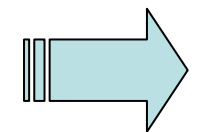


Parámetros críticos

- Aplicación de un campo magnético creciente > H_c (campo crítico)
- Densidades de corriente altas \rightarrow J_c (corriente crítica) (efecto Silsbee)
- Temperaturas > T_c







Estado "NORMAL"





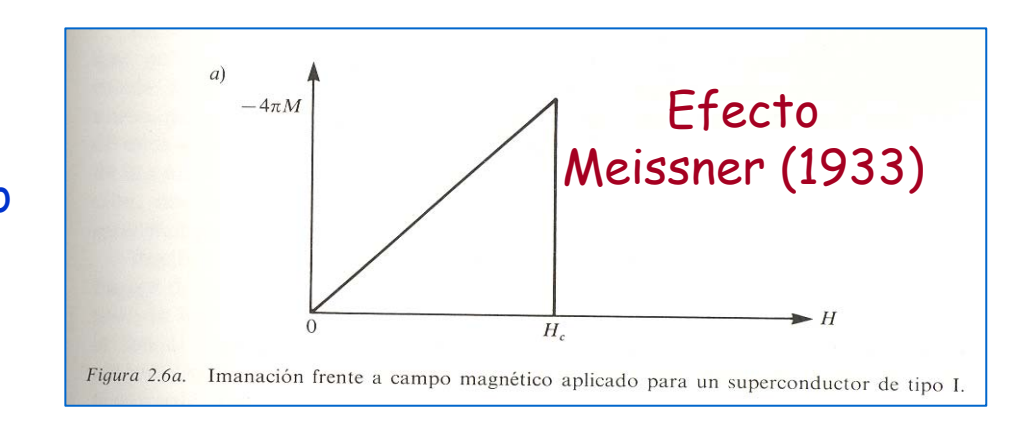
Clasificación de los Superconductores

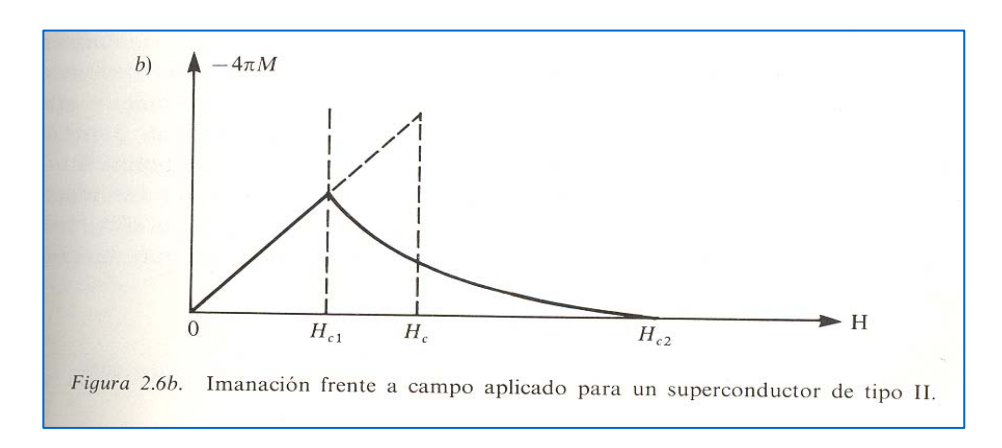
Tipo I:

- elmtos. metálicos simples (no transición) (Sn, Al, Pb, Hg, In, ...)
- Bajas T_c

Tipo II:

- elmtos. metálicos transición (Nb, V, Nb₃Ge, Ni₃Sb, YBacuo...)
- Superiores T_C (> que tipo I)
- Superiores H_C (> que tipo I)





¿Cómo influye el campo magnético en: I y II?

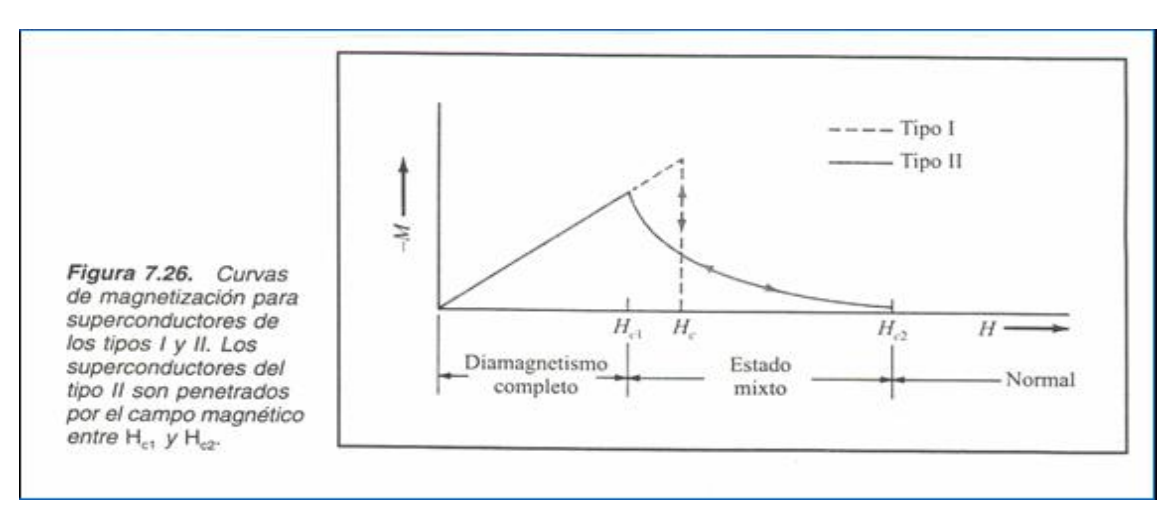
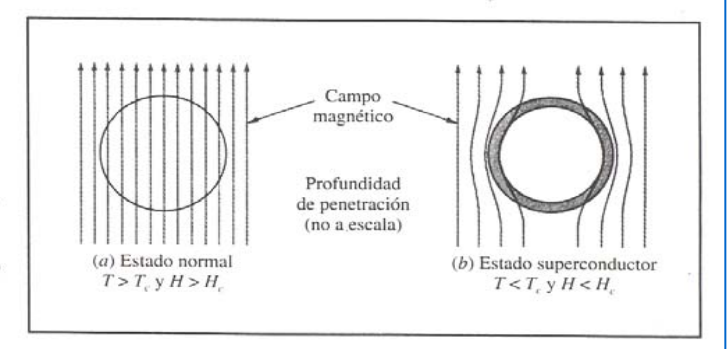


Figura 7.25. Efecto Meissner. Cuando la temperatura de un conductor del tipo I se reduce por debajo T_c y el campo magnético está por debajo de H_c, este campo es expelido del material, excepto en una pequeña capa superficial.



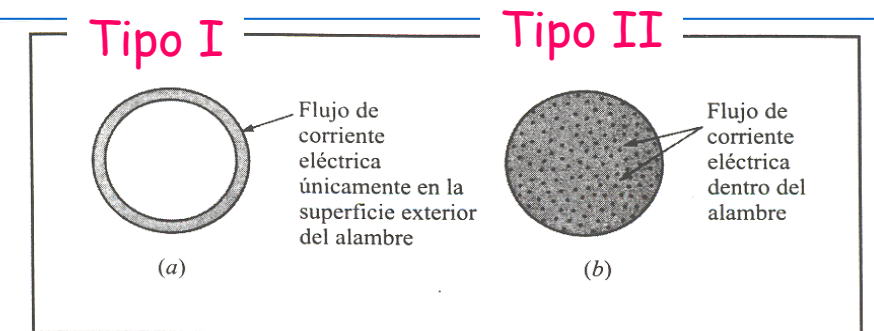
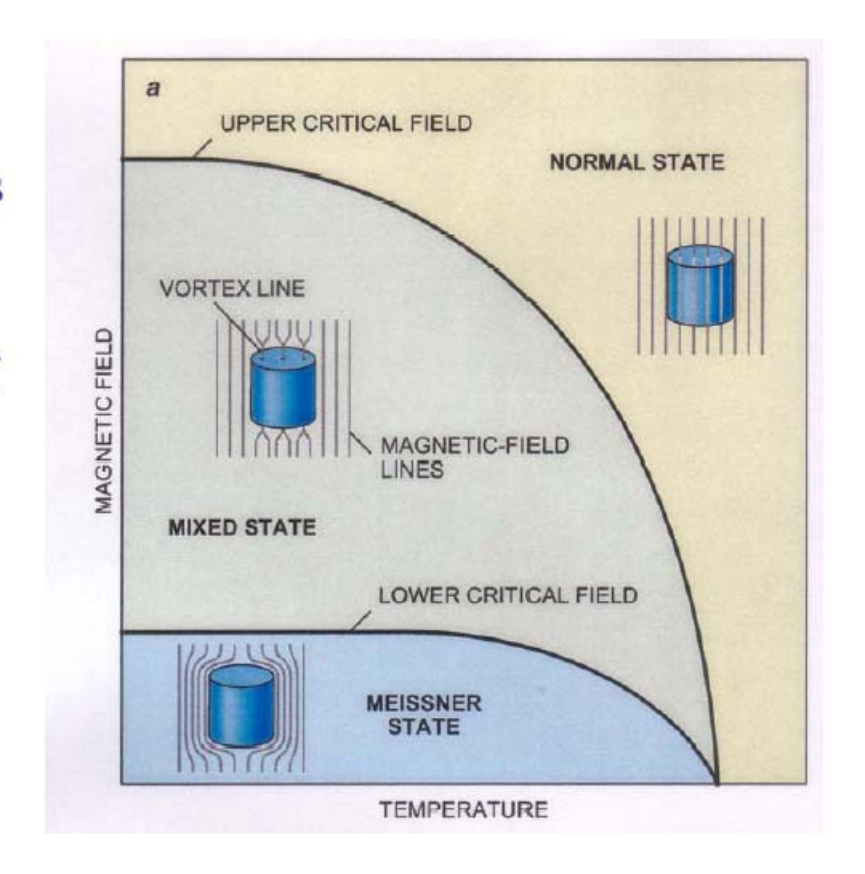


Figura 7.27. Sección transversal de un alambre superconductor transportando corriente eléctrica. (a) Superconductor tipo I o II sometido a campo bajo (H < H_{c1}). (b) Superconductor tipo II sometido a campos altos en los que la corriente se transporta por una red de filamentos.

In the case of a type II superconductor such as YBCO things are a little more complicated. In low magnetic fields the superconductor expels the external magnetic field. If the Magnetic field is increase above the lower critical field Hc1 it enters the material but the filed lines are in discrete bundles. If the field is further increased beyond Hc2 supreconductivity is destroyed and the materials becomes nonsuperconducting (normal state).



Scientific American, Feb. 1993

Superconductores de Alta Temperatura Crítica (HTSC)

Evolución Histórica:

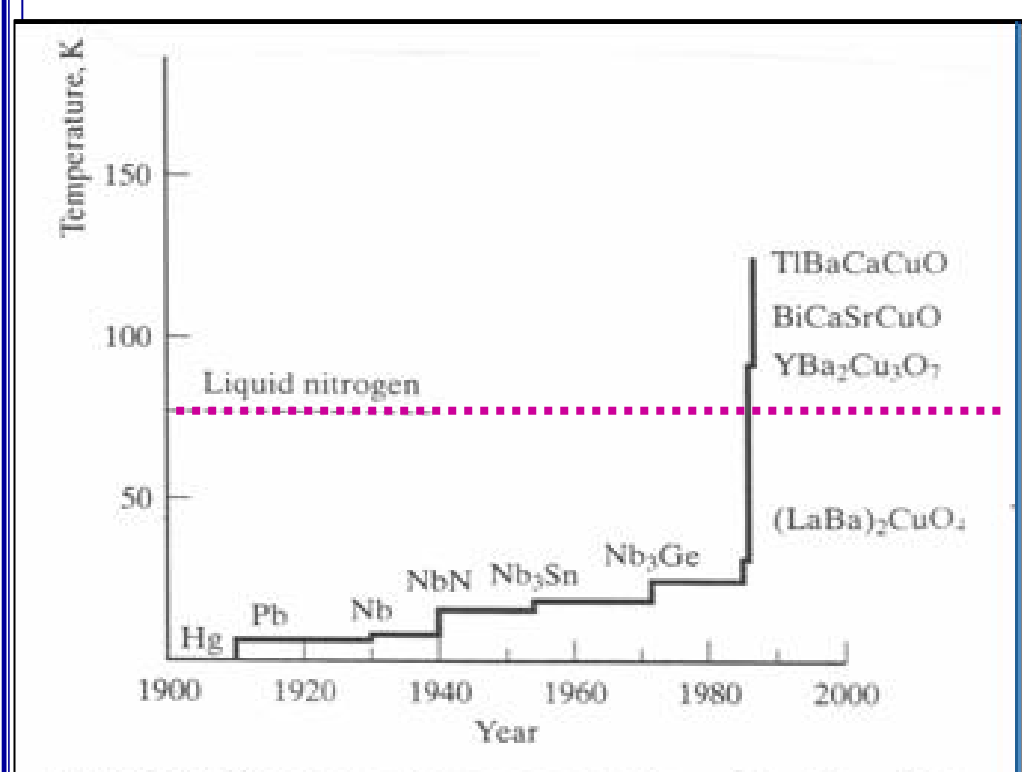


Fig. 3-20 Discovery of superconducting critical transition temperatures in the 20th century.

• Balacuo: $T_c \cong 35-40 \text{ K}$

SS: $Ba_xLa_{2-x}CuO_{4-y}$, x=0.2

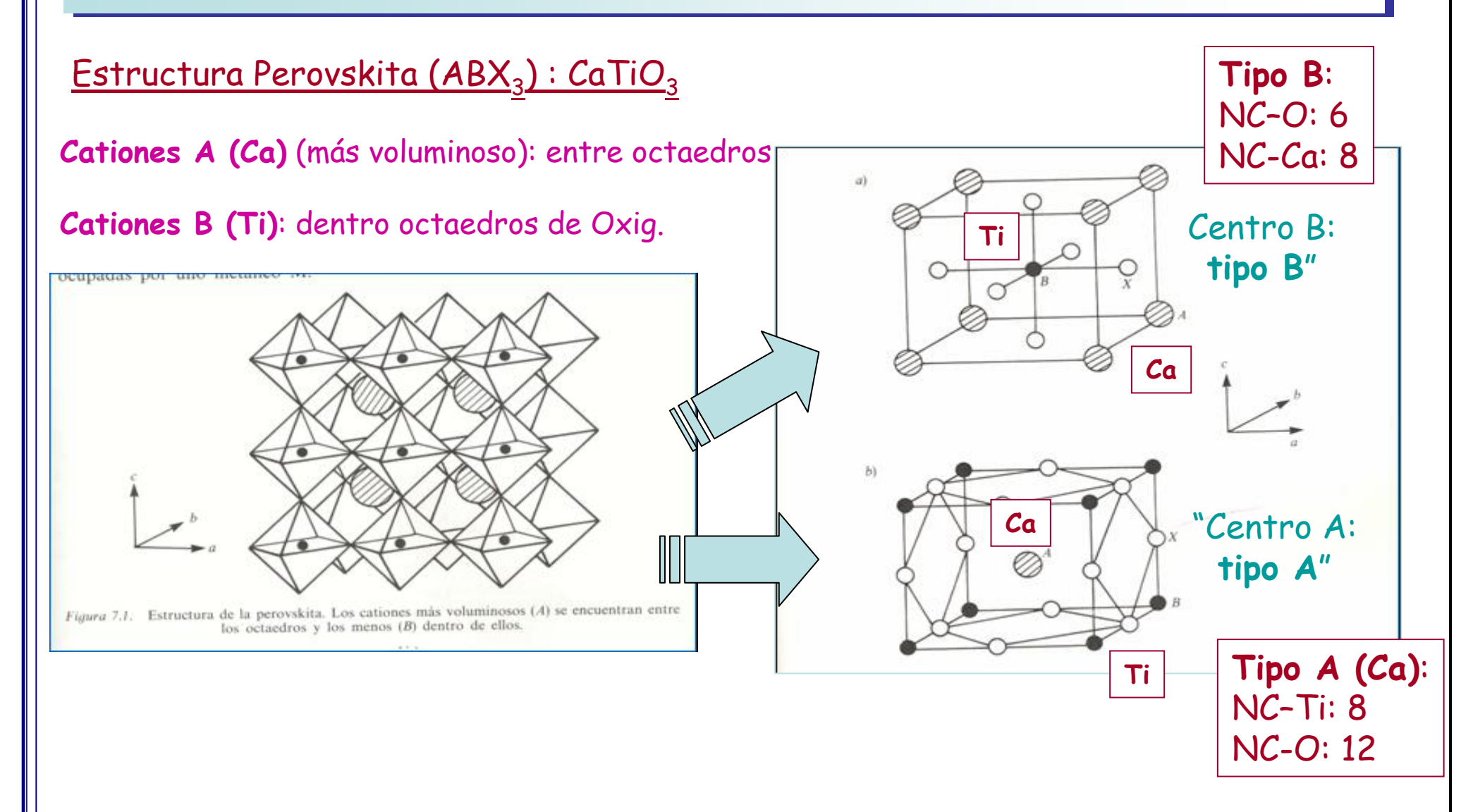
• Ybacuo: $T_c \cong 93-95 \text{ K}$

Fase: $Ba_2YCu_3O_{7-y}$, $y\rightarrow 0$



- · derivan estructura "Perovskita"
- "No estequiométricos en oxígeno"

Estructura Cristalina HTSC



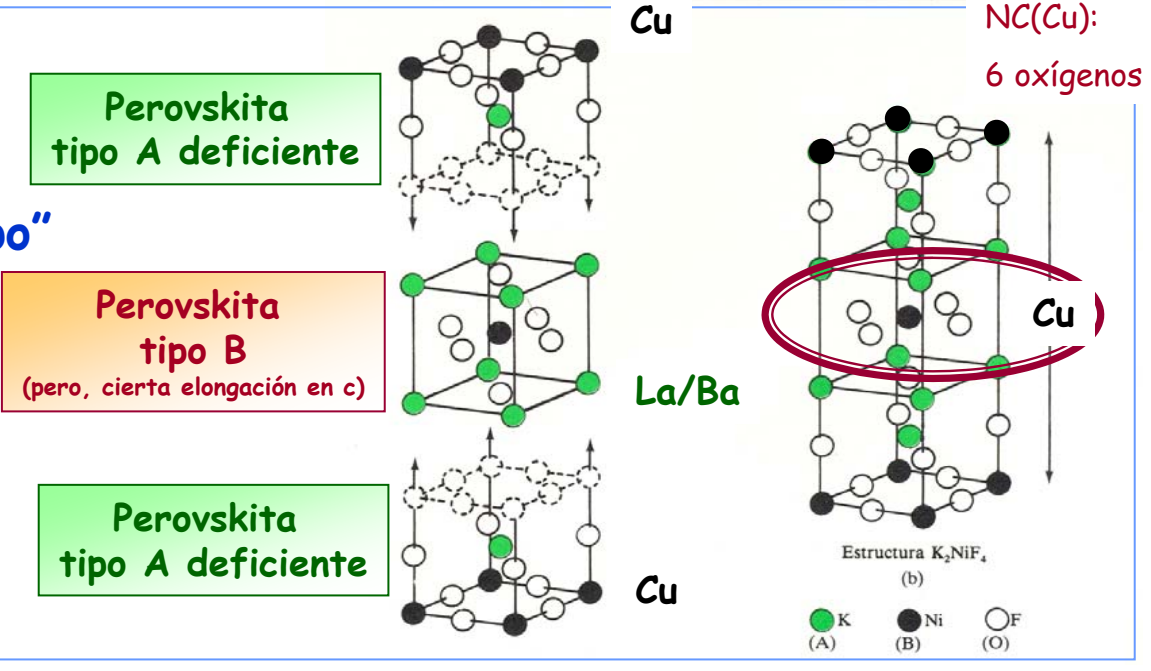
Balacuo ($La_{2-x}Ba_xCuO_4$), x=0.2, Tc=45K

• Estrut. tipo K₂NiF₄

Celda: "tetrag. centrada cuerpo"

Posiciones A (K): La / Ba $R_{La} \approx R_{Ba}$ Posiciones B (Ni): Cu

• Atómos A (La/Ba): NC=9 de oxígenos, mientras Estrc. Perovskita NC-A: 12



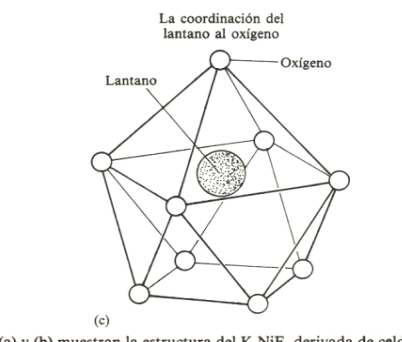


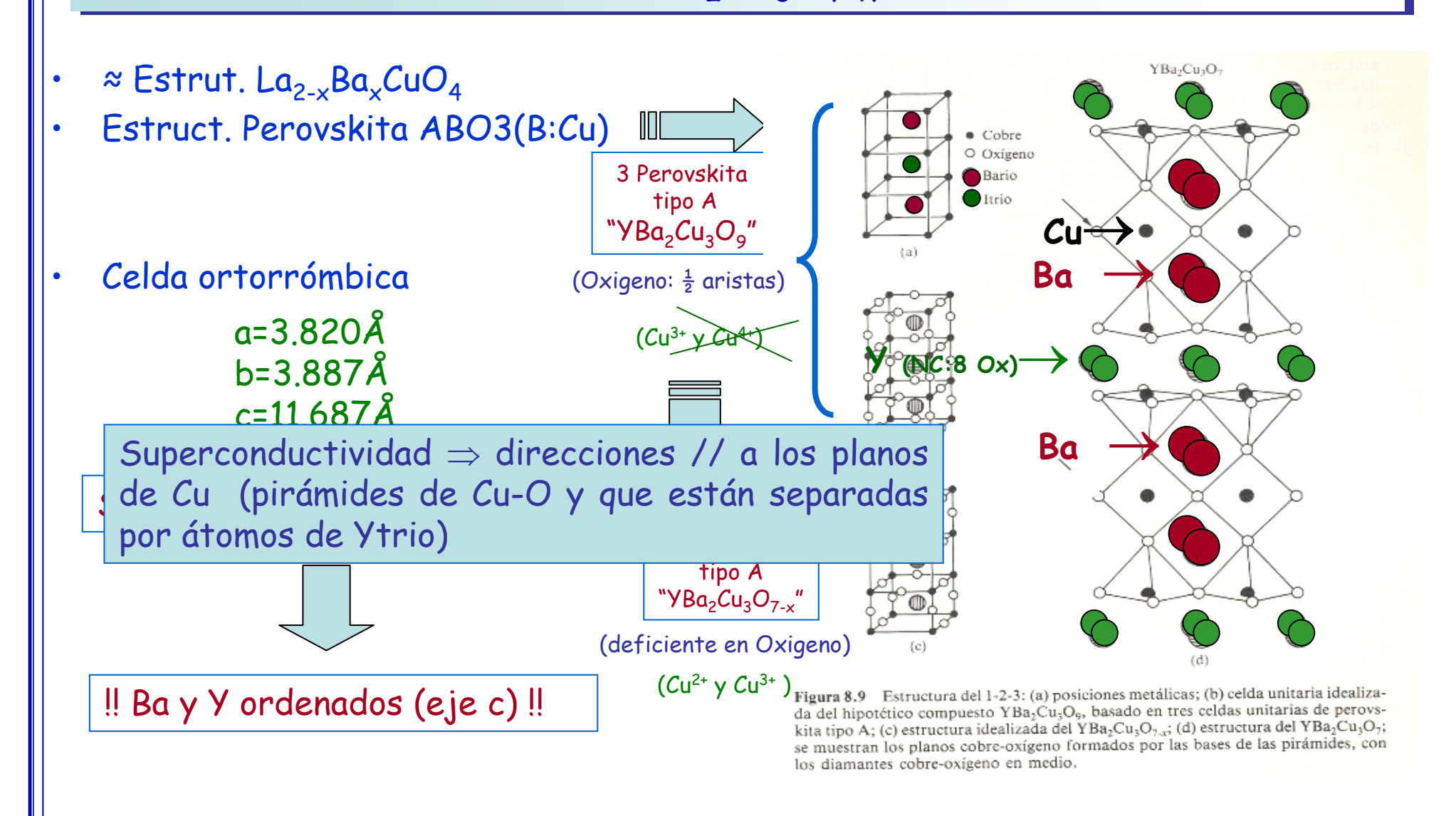
Figura 8.8 (a) y (b) muestran la estructura del K_2NiF_4 derivada de celdas unitarias (ABO₃) tipo perovskita, adoptada por el $La_{2,x}Ba_xCuO_4$. (c) Coordinación nónuple del lantano por el oxígeno en esta estructura.

Se ha observado:

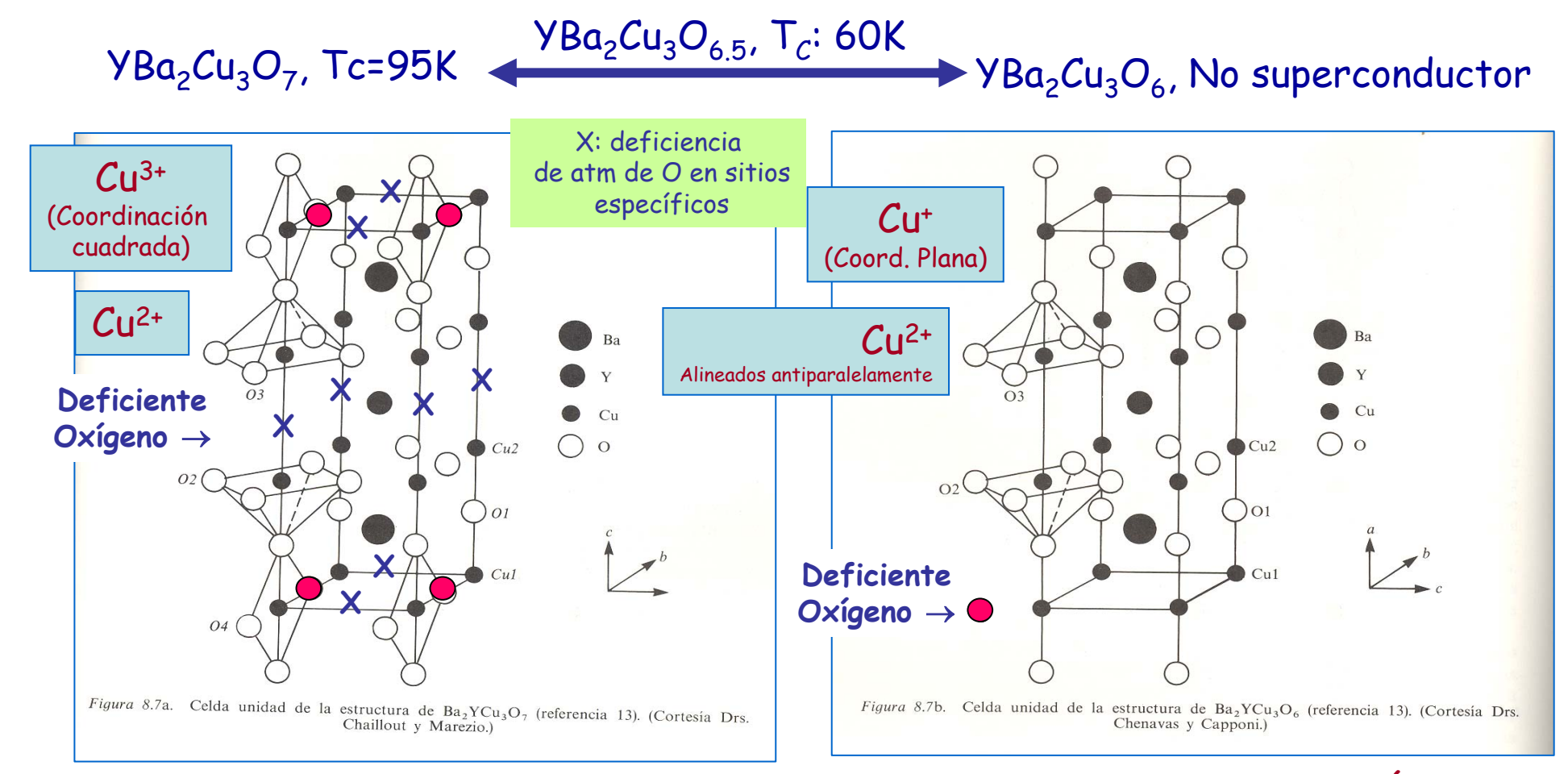
$$\frac{\mathsf{d}(\mathcal{C}\mathsf{u}\text{-}\mathcal{O})\downarrow\Rightarrow\uparrow\mathsf{T}_{\mathcal{C}}}{\uparrow\mathcal{C}\mathsf{u}^{3+}\Rightarrow\uparrow\mathsf{T}_{\mathcal{C}}}$$

Atm de Cu y cuatro
Oxígenos ⇒"planos" ⇒
"propiedades
superconductoras"

YBacuo (YBa₂ Cu_3O_{7-x}), 1-2-3



¿Deficiencia en oxígeno?



Espines Cu²⁺: ANTIFERROMAGNÉTICO

⇒ (alineación antiparalela de los espines)

Fenómeno de la Superconductidad

Presencia de capas de Cu-O situadas entre planos de otros elementos.

La superconductividad tiene lugar en estos planos,

Los elementos presentes y las distancias entre los planos cambian la temperatura de transición superconductora

Propiedades Superconductoras: Influencia del Procesado

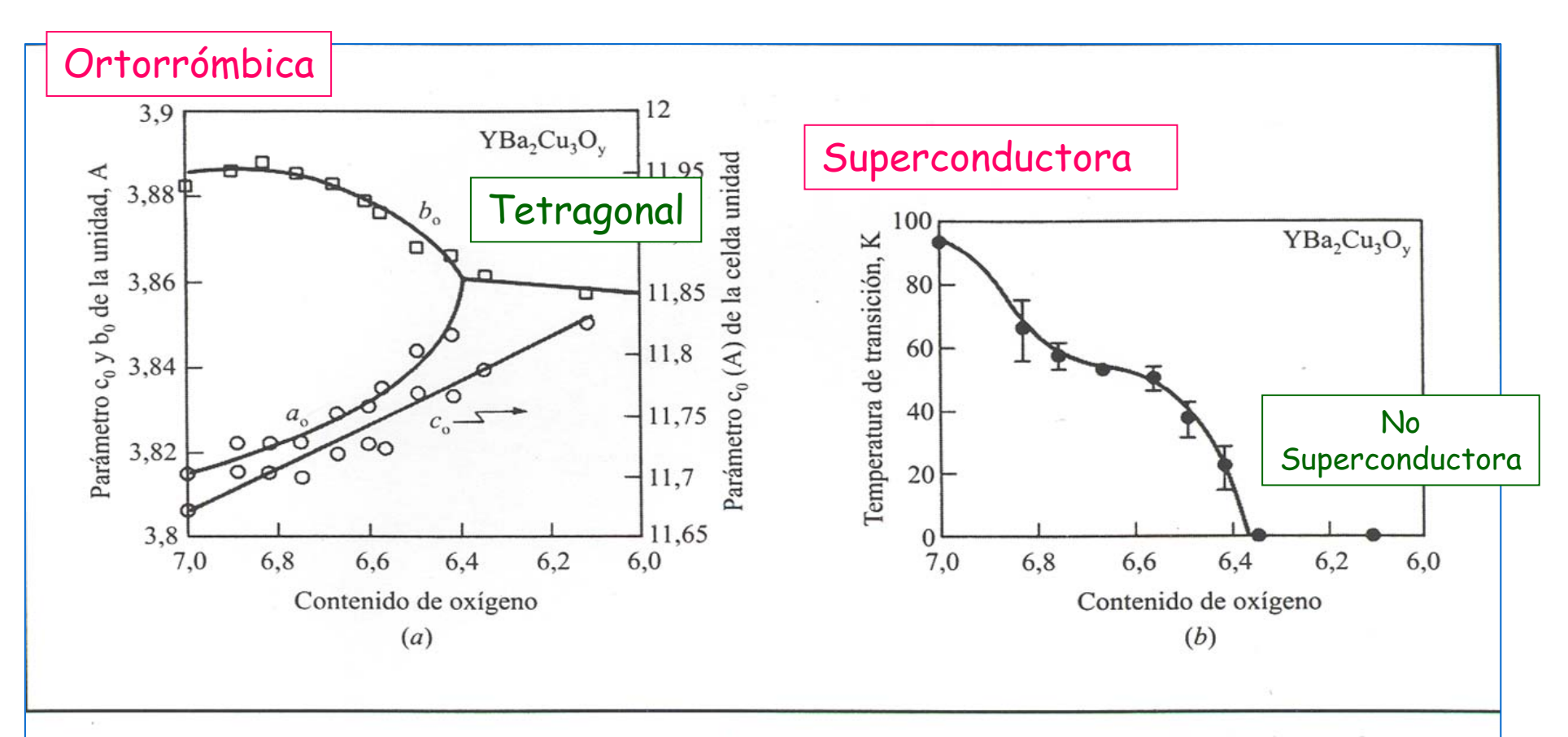


Figura 7.31. (a) Contenido de oxígeno en función de la constante de la celda unidad para el YBa₂Cu₃O_y. (b) Contenido de oxígeno en función de T_c para YBa₂Cu₃O_y. (Según J. M. Tarascon y B. G. Bagley, MRS Bull., enero 1989, pág. 55.)

Aplicaciones

Basadas en:

- Carencia de resistencia eléctrica.
- Capacidad de crear imanes superconductores.
- Efecto Meissner ⇒! Levitación! (⇒ expulsar el flujo magnético)
- Efecto Josephson \Rightarrow comutación a alta veloc. de tensiones sin consumo de Eg.

Criterios estrictos de Selección:

- Transportar corrientes de más de 10⁹ Am⁻².
- Soportar campos magnéticos altos (hasta 5T).
- Propiedades mecánicas

 motores y generadores
- Posibilidad en conformado en forma de alambre, cinta o película delgada

Trenes levitados (MAGLEV)- Efecto Meissner

- Circulan suspendidos encima de un rail por fuerzas magnéticas.
- Utilizan imanes superconductores de baja temperatura ⇒ sustitución por HTSC abarataria los costes de refrigeración
- Alcanzan velocidades de hasta 400Km/h (Japón/Alemania/UK)



Speed record of a five-car train: 552 km/h in 1999

Superimanes

- Se construyen con alambres de NbTi o Nb₃Sn (tipo II).
- Transportan densidades de corrientes » a los cables de Cu, sin necesidad de amplificadores de núcleos de hierro.
- · Con escasas pérdidas de energía y producen poco calor



Sustitución por HTSC

Generadores: producción de eg al girar un imán dentro de una bobina

- Fabricados con imanes de baja temperatura ⇒ eficiente y barato
- Ahorro: sólo $1\% \Rightarrow No$ compensa, no existen en fucionamineto

Líneas de sumistro

- Nula resistencia eléctrica, frente a pérdidas del 5 y 8% de los alambres de Cu y Al.
- Pequeña pérdida de Eg cuando llevan corriente alterna, debida a la producción de ondas de radio.
- Poco probable su uso en torres metálicas, ya que el cable no es lo suficientemente fuerte (\downarrow prop. Mecánicas) \Rightarrow Posible Solución: enterramiento \Rightarrow \uparrow coste

Almacenamiento de Energía Eléctrica

- Existe Unidad de almacenamiento de Energía supermagnética (SMES) sin pérdida de energía
- · Utiliza aleación de NbTi refrigerado con He_{líquido}.
- Se utilizan ladrillos de Al muy puro en las paredes, que sirven de sumidero de calor y electricidad en caso de liberación.
- Podrían utilizarse para suavizar la transmisión de energía generada por fuentes muy erráticas.

Ordenadores superconductores (Efecto Josephson)

- Capa delgada aislante entre capas de material superconductor
- Conmutan tensiones a altas velocidades.
- · Bajo consumo de energía.
- Proyecto de IBM: Imposibilidad de fabricar memoria cache pequeña, fiable y de alta velocidad.
- · Los japoneses continúan investigando

Interferencia cuántica - SQUID (Efecto josephson)

- Circuito de alambre superconductor con una o varias uniones Josephson.
- Extremadamente sensible a cambios en campos magnéticos (cerebro, geología, existencia de acumulaciones petroquímicas, etc...
- Aplicaciones militares: presencia de submarinos

Procesos de Fabricación

- 1. Mezcla de polvo y un polímero que se moldea, forma apropiada (prefilado o laminado, compactación), se sinteriza.
 - 1. Hilos y cintas
- 2. Ablación laser
 - 1. Preparar películas delgadas
- 3. Tape Casting (Colado en barbotina)
 - 1. Preparar láminas superconductoras de gran superficie con un espesor determinado.
- 4. Métodos electroquímicos
 - 1. Electrodeposición: aplicando un potencial reductor.
 - 2. Electroforesis: aplicando una diferencia de potencial